

# framatomé

Présentation travaux de thèse

Extension des méthodes de Nitsche  
aux structures minces

18 novembre 2025

Matthieu SCHORSCH

Directeur de thèse : Pr. Yves RENARD

Co-directeurs de thèse : Pr. David DUREISSEIX & Pr. Thomas ELGUEDJ

Encadrants : Cédric POZZOLINI & Nadim MOUSSALLAM

**INSA**

INSTITUT NATIONAL  
DES SCIENCES  
APPLIQUÉES  
LYON

**LaMCoS**  
Laboratoire de Mécanique  
des Contacts et des Structures  
UMR 5259

# Confidentialité



**Ce document contient du Savoir-Faire  
Framatome**

## EXPORT CONTROL

AL = N

ECCN = N

Les biens marqués « AL » différent de « N » sont soumis aux autorisations d'exportation des Etats de l'Union Européenne lors d'une exportation à l'intérieur ou hors de l'Union Européenne.

Les biens marqués « ECCN » différent de « N » ou « EAR99 » sont soumis aux autorisations de réexportation américaine. Avec ou sans marquage « AL :N », « ECCN :N » ou « ECCN:EAR99 », une autorisation d'exportation peut néanmoins être nécessaire en fonction de la destination et de l'utilisation de ces biens.

Ce document et toute information qu'il contient et/ou divulguée dans le cadre de toute discussion en lien avec ce document sont confidentiels, protégés par les dispositions applicables en matière de propriété intellectuelle et comportent des éléments soumis à la réglementation sur le secret des affaires. Toute reproduction, modification, transmission à tout tiers ou publication totale ou partielle du document et/ou de son contenu est interdite sans l'accord préalable et écrit de Framatome. Ce document et toute information qu'il contient ne doivent en aucun cas être utilisés à d'autres fins que celles pour lesquelles ils ont été communiqués. Tout acte de contrefaçon ou tout manquement aux obligations ci-dessus est passible de sanctions disciplinaires et de poursuites judiciaires.

- © Framatome – Tous droits réservés

## REGLES DE PROTECTION DE L'INFORMATION



**C1** - Ce document et toute information qu'il contient et/ou divulguée dans le cadre de toute discussion en lien avec ce document sont à **diffusion limitée**



**C2** : Ce document et toute information qu'il contient et/ou divulguée dans le cadre de toute discussion en lien avec ce document sont **Framatome confidentiels** ; leur divulgation, altération ou disparition sont préjudiciables, avec un impact significatif à fort, pour Framatome. **Les supports, lorsque communiqués, et les informations qu'ils contiennent, sont destinés aux seuls participants à la réunion ou au périmètre désigné dans le pied-de-page.**

Chacun s'engage à ne les communiquer et à n'en relater les échanges qu'avec discernement et en mentionnant explicitement « à ne pas rediffuser / à ne pas divulguer ».



**C3** – Ce document et toute information qu'il contient et/ou divulguée dans le cadre de toute discussion en lien avec ce document relèvent du **secret Framatome**.

Chacun s'engage à tenir secrètes les informations tant écrites qu'orales qui y sont exposées. Chaque dépositaire de ce document s'interdit de le communiquer à toute personne morale ou physique, y compris au sein de Framatome, sans l'accord du président de séance

# Sommaire

## 1. Introduction

1.1 Mécanique du contact

1.2 Méthode de Nitsche

## 2. Modèle de Timoshenko enrichi avec pincement

2.1 Modèle de Timoshenko classique avec Nitsche

2.2 Modèle enrichi

## 3. Résultats numériques

## 4. Conclusions et perspectives

## 1.1 La mécanique du contact

- Nécessaire de prendre en compte les **phénomènes d'impact** afin de pour garantir la fiabilité et la sécurité des équipements
- Disposer de **méthodes numériques fiables**, robustes et physiquement cohérentes pour simuler correctement les phénomènes d'impact
- Pour les composants assimilables à des **structures minces** : il est essentiel de disposer de méthodes de contact capables de traiter correctement ces géométries particulières.



Image – Grappes de contrôle © Framatome

## 1.1 La mécanique du contact

- Conditions de contact formulées par des inégalités et des équations non-linéaires

$$\left\{ \begin{array}{ll} -\operatorname{div} \sigma(\mathbf{u}) = \mathbf{b} & \text{dans } \Omega^\varepsilon, \\ \sigma(\mathbf{u})\mathbf{n} = \ell & \text{sur } \Gamma_N, \\ \mathbf{u} = \mathbf{0} & \text{sur } \Gamma_D, \end{array} \right.$$

+

$$\left\{ \begin{array}{l} u_n \leq 0, \quad (i) \\ \sigma_n(\mathbf{u}) \leq 0, \quad (ii) \\ \sigma_n(\mathbf{u}) u_n = 0, \quad (iii) \\ \sigma_t(\mathbf{u}) = 0. \quad (iv) \end{array} \right.$$

Problème statique d'élasticité linéaire

Conditions de contact (sans frottement)

- Cadre mathématique des **inéquations variationnelles**

## 1.1 La mécanique du contact

### □ Problèmes ouverts (sauf cas particuliers) :

- Existence
- Unicité
- Stabilité et convergence des schémas numériques

S'assurer de la convergence du **problème discrétisé** vers le problème continu

### □ Méthodes de simulation numérique du contact :

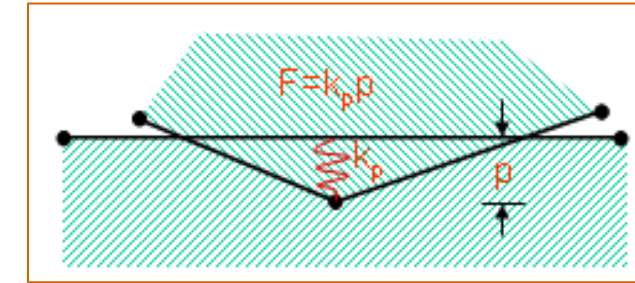
- La méthode de pénalité
- Les méthodes Lagrangiennes
- Les méthodes de Nitsche

# 1.1 Les méthodes pour simuler numériquement le contact

- Méthode de pénalité :  
$$u_n \leq g \text{ (i)}$$
  
$$\sigma_n(u) \leq 0 \text{ (ii)}$$
  
$$\sigma_n(u)(u_n - g) = 0 \text{ (iii)}$$
  
$$\sigma_t(u) = 0 \text{ (iv)}$$
- remplacées par  $\sigma_n(u) = -K_N[g - u_n]_+$

Autorise l'inter-pénétration :

Introduction d'un « ressort » de rappel de raideur  $K_N$



- Méthodes Lagrangiennes :

N'autorise pas d'inter-pénétration :

Introduction d'un multiplicateur de Lagrange qui représente la réaction de contact

- **Lagrangien pur** : une inconnue supplémentaire
- **Lagrangien augmenté** : algorithme itératif sur le multiplicateur de Lagrange pour faire respecter la contrainte de non-pénétration

## 1.2 La méthode de Nitsche

Autre méthode : **La méthode de Nitsche**

$$\begin{array}{ll} u_n \leq 0 \text{ (i)} & \forall r > 0, \text{ les conditions de contact (i) -- (iii) sont équivalentes à} \\ \sigma_n(u) \leq 0 \text{ (ii)} & \\ \sigma_n(u)(u_n - g) = 0 \text{ (iii)} & \xleftarrow{\text{Théorème Chouly-Hild}} \quad \xrightarrow{\text{[1] Chouly, Hild, 2013}} \sigma_n(u) = [\sigma_n(u) - ru_n]_{\mathbb{R}^-} \\ \sigma_t(u) = 0 \text{ (iv)} & \end{array}$$

Avantages : Consistance, indépendance au paramètre  $r$  et convergences optimales :

Quand  $h \rightarrow 0$ ,  $h$  la taille de maille :

|                             | Pénalité   | Nitsche   |
|-----------------------------|--|---|
| Contact élastique/rigide    | convergence au mieux en $O(h)$<br>avec $h = 1/K_N$ !<br>[2] Chouly, Hild, 2012 | convergence en $O(h)$<br>[1] Chouly, Hild, 2013 |
| Contact élastique/élastique | convergence au mieux $O(\sqrt{h})$<br>[3] Stenberg, 2024                       | convergence en $O(h)$<br>[3] Stenberg, 2024     |

## 1.2 La méthode de Nitsche

Formulation variationnelle du **problème 3D** :

$$\mathbf{V} := \left\{ \mathbf{v} \in (H^1(\Omega^\varepsilon))^3 \mid \mathbf{v} = 0 \text{ sur } \Gamma_D \right\}$$

$$\left\{ \begin{array}{l} \text{Trouver } \mathbf{u} \in \mathbf{V}, \text{ tel que pour tout } \mathbf{v} \in \mathbf{V} \\ \int_{\Omega^\varepsilon} \boldsymbol{\sigma}(\mathbf{u}) : \boldsymbol{\varepsilon}(\mathbf{v}) d\Omega^\varepsilon - \frac{\Theta}{r} \int_{\Gamma_C} \sigma_n(\mathbf{u}) \sigma_n(\mathbf{v}) d\Gamma_C + \frac{1}{r} \int_{\Gamma_C} [\sigma_n(\mathbf{u}) + r u_n]_{\mathbb{R}^-} (\Theta \sigma_n(\mathbf{v}) - r v_n) d\Gamma_C \\ = \int_{\Omega^\varepsilon} \mathbf{b} \mathbf{v} d\Omega^\varepsilon + \int_{\Gamma_l} \ell \mathbf{v} d\Gamma_N. \end{array} \right.$$

**Contact de Nitsche**

Où  $\Theta \in \mathbb{R}$  est un paramètre fixé utilisé pour obtenir différentes variantes (Chouly et Al. [5])

- $\Theta = 1$  : méthode symétrique qui dérive d'un potentiel d'énergie
- $\Theta = 0$  : Méthode simple proche de la pénalité et du lagrangien augmenté
- $\Theta = -1$  : Version antisymétrique. Une unique solution et méthode qui converge  $\forall \mathbf{r}$ .

## 1.2 La méthode de Nitsche

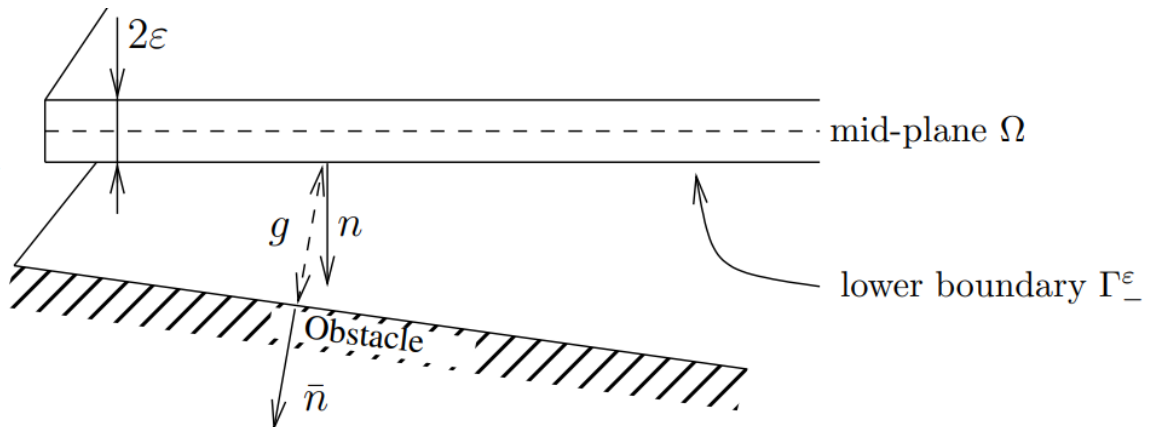
Pourquoi n'est-elle pas plus utilisée dans les modèles numériques de calculs industriels ?

- Besoin de précision → dilemmes liés aux temps de calculs prohibitifs
- Recours à des modèles de **structures élancées** (poutres, plaques, coques)

**Problème :** les grandeurs d'intérêt (déplacements, contraintes) que la méthode de Nitsche délivre proviennent de l'utilisation d'un tenseur de contraintes 3D

$$\sigma_n(u) = [\sigma_n(u) - ru_n]_{\mathbb{R}^3}$$

avec  $\sigma_n(u) = (\sigma(u)n) \cdot \bar{n}$  la composante normale des densités de forces



En structures élancées :  
**pas de notion d'épaisseur !**

## 2. Objectifs de la thèse

**Objectif :** Réaliser l'extension des méthodes de Nitsche aux structures minces

Travaux préliminaires sur les plaques (Fabre et al, 2021 [4])

Travail à réaliser pour les poutres et pour les coques

**Méthodologie :**

- Appliquer les hypothèses cinématiques de différents modèles de structures élancées  
→ Richesse du contact de Nitsche conservée ?
- Le cas échéant → enrichir la cinématique des modèles de structures minces

## 2.1 Modèle de Timoshenko

Hypothèses cinématiques :

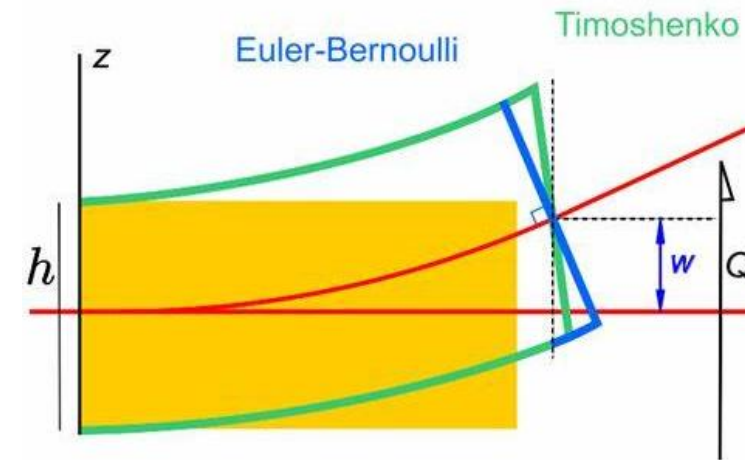
$$\begin{aligned} u_x(x, y, z) &= w_x(x) + z\theta_y(x) - y\theta_z(x), \\ u_y(x, y, z) &= w_y(x) - z\theta_x(x), \\ u_z(x, y, z) &= w_z(x) + y\theta_x(x). \end{aligned}$$

Hypothèse sur le tenseur des contraintes :

Tenseur anti-plan :

$$\sigma = \begin{bmatrix} \sigma_{xx} & \sigma_{xy} & \sigma_{xz} \\ \sigma_{xy} & 0 & 0 \\ \sigma_{xz} & 0 & 0 \end{bmatrix}$$

Pas de contraintes dans l'épaisseur de la structure



## 2.1 Modèle de Timoshenko

**Principe variationnel d'Hellinger-Reissner :**

$$HR1(\sigma_{ij}, u_i) = \int_{\Omega} \left( \sigma_{ij} \varepsilon_{ij} - \frac{1}{2} \sigma_{ij} \mathbb{C}_{ijkl} \sigma_{kl} \right) d\Omega - \int_{\Omega} b_i u_i d\Omega - \int_{\partial\Omega} l_i u_i d\partial\Omega$$

Table 1: Equations for Timoshenko beam theory

| Type        | Momentum balance   | Strain-displacement  | Constitution                                    |
|-------------|--|--|---|
| 1. Axial:   | $\frac{\partial N}{\partial x} + q_x = 0;$   | $\varepsilon = \frac{dw_x}{dx};$   | $N = EA\varepsilon$                             |
| 2. Torsion: | $\frac{\partial M_x}{\partial x} + m_x = 0;$   | $\chi_x = \frac{d\theta_x}{dx};$   | $M_x = G(I_y + I_z)\chi_x$                      |
| 3. Bending: | $\frac{\partial Q_y}{\partial x} + q_y = 0;$<br>$\frac{\partial M_z}{\partial x} + Q_y + m_z = 0;$ | $\gamma_y = \frac{dw_y}{dx} - \theta_z;$<br>$\chi_z = \frac{d\theta_z}{dx};$ | $Q_y = GA_y\gamma_y$<br>$M_z = EI_z\chi_z$      |
|             | $\frac{\partial Q_z}{\partial x} + q_z = 0;$<br>$\frac{\partial M_y}{\partial x} - Q_z + m_y = 0;$ | $\gamma_z = \frac{dw_z}{dx} + \theta_y;$<br>$\chi_y = \frac{d\theta_y}{dx};$ | $Q_z = G_z A_z \gamma_z$<br>$M_y = EI_y \chi_y$ |

## 2.1 Modèles classiques de poutres avec Nitsche

Formulation variationnelle d'une **poutre de Timoshenko avec contact de Nitsche** :

$$\mathbf{V}_T := \{ (\delta\mathbf{w}, \delta\theta) \in (H^1(\Omega, \mathbb{R}))^6 \mid (\delta\mathbf{w}, \delta\theta) = (\mathbf{0}, \mathbf{0}) \text{ on } \Gamma_D \}$$

$$\left\{ \begin{array}{l} \text{Trouver } (\mathbf{w}, \theta) \in \mathbf{V}_T \text{ tel que pour tout } (\delta\mathbf{w}, \delta\theta) \in \mathbf{V}_T \\ \\ \int_0^L \left( N(\mathbf{w}) \frac{d\delta w_x}{dx} + M_z(\theta) \frac{d\delta \theta_z}{dx} + M_y(\theta) \frac{d\delta \theta_y}{dx} + M_x(\theta) \frac{d\delta \theta_x}{dx} \right. \\ \quad \left. + Q_y(\mathbf{w}, \theta) \left( \frac{d\delta w_y}{dx} - \delta \theta_z \right) + Q_z(\mathbf{w}, \theta) \left( \frac{d\delta w_z}{dx} + \delta \theta_y \right) \right) dx \\ \boxed{+ r \varepsilon_w \int_{\Gamma_C} [-w_y]_{\mathbb{R}^-} \cdot \delta w_y d\Gamma_C} \quad \text{Contact pénalisé} \\ = \int_0^L [q_x \delta w_x + q_y \delta w_y + q_z \delta w_z + m_y \delta \theta_y + m_z \delta \theta_z + m_x \delta \theta_x] dx \end{array} \right.$$

Le modèle n'est **pas cinématiquement suffisamment riche** ( $\sigma_{yy} = \sigma_{zz} = 0$ ) pour appliquer la méthode de Nitsche

## 2.2 Modèle de « Timoshenko-enrichi »

**Proposition : enrichir le modèle avec une notion de « pincement »**

- Ajout de déplacements dans la section

$$\begin{aligned} u_x(x, y, z) &= w_x(x) - y\theta_z(x) + z\theta_y(x), \\ u_y(x, y, z) &= w_y(x) - z\theta_x(x) - \boxed{y\alpha(x)}, \\ u_z(x, y, z) &= w_z(x) + y\theta_x(x) - \boxed{z\beta(x)}. \end{aligned}$$

- → Déformations  $\varepsilon_{yy}$  et  $\varepsilon_{zz}$  non nulles (dans l'épaisseur)
- Hypothèse supplémentaire : le tenseur des contraintes n'est plus anti-plan

$$\sigma = \begin{bmatrix} \sigma_{xx} & \sigma_{xy} & \sigma_{xz} \\ \sigma_{xy} & 0 & 0 \\ \sigma_{xz} & 0 & 0 \end{bmatrix} \xrightarrow{\hspace{10em}} \sigma = \begin{bmatrix} \sigma_{xx} & \sigma_{xy} & \sigma_{xz} \\ \sigma_{xy} & \sigma_{yy}^0 & 0 \\ \sigma_{xz} & 0 & \sigma_{zz}^0 \end{bmatrix}$$

## 2.2 Modèle de « Timoshenko-enrichi »

### Principe variationnel d'Hellinger-Reissner

Table 4: Equations for pinch-informed Timoshenko beams with constant pinch stresses hypothesis

| Type         | Momentum balance   | Strain-displacement  | Constitution  |
|--------------|--|--|---|
| 1. Axial:    | $\frac{\partial N}{\partial x} + q_x = 0;$   | $\varepsilon = \frac{dw_x}{dx};$   | $N = (\lambda + 2\mu)A\varepsilon - \lambda A(\alpha + \beta)$  |
| 2. Torsion:  | $\frac{\partial M_x}{\partial x} + m_x = 0;$   | $\chi_x = \frac{d\theta_x}{dx};$   | $M_x = G(I_y + I_z)\chi_x$  |
| 3. Bending:  | $\frac{\partial Q_y}{\partial x} + q_y = 0;$<br>$\frac{\partial M_z}{\partial x} + Q_y + m_z = 0;$                   | $\gamma_y = \frac{dw_y}{dx} - \theta_z;$<br>$\chi_z = \frac{d\theta_z}{dx};$ | $Q_y = GA_y\gamma_y$<br>$M_z = EI_z\chi_z$  |
|              | $\frac{\partial Q_z}{\partial x} + q_z = 0;$<br>$\frac{\partial M_y}{\partial x} - Q_z + m_y = 0;$                   | $\gamma_z = \frac{dw_z}{dx} + \theta_y;$<br>$\chi_y = \frac{d\theta_y}{dx};$ | $Q_z = GA_z\gamma_z$<br>$M_y = EI_y\chi_y$  |
| 4. Pinching: | $\frac{\partial M_{py}}{\partial x} - P_z + m_{py} = 0;$<br>$\frac{\partial M_{pz}}{\partial x} - P_y + m_{pz} = 0;$ | $\chi_\beta = \frac{d\beta}{dx};$<br>$\chi_\alpha = \frac{d\alpha}{dx};$     | $M_{py} = -GI_y\chi_\beta$<br>$A\sigma_{zz}^0 = -(\lambda + 2\mu)A\beta + \lambda A(\varepsilon - \alpha)$<br>$M_{pz} = -GI_z\chi_\alpha$<br>$A\sigma_{yy}^0 = -(\lambda + 2\mu)A\alpha + \lambda A(\varepsilon - \beta)$ |

## 2.2 Modèle de « Timoshenko-enrichi »

### Principe variationnel d'Hellinger-Reissner

Table 4: Equations for pinch-informed Timoshenko beams with constant pinch stresses hypothesis

| Type         | Momentum balance   | Strain-displacement  | Constitution  |
|--------------|--|--|---|
| 1. Axial:    | $\frac{\partial N}{\partial x} + q_x = 0;$   | $\varepsilon = \frac{dw_x}{dx};$   | $N = (\lambda + 2\mu)A\varepsilon - \lambda A(\alpha + \beta)$  |
| 2. Torsion:  | $\frac{\partial M_x}{\partial x} + m_x = 0;$   | $\chi_x = \frac{d\theta_x}{dx};$   | $M_x = G(I_y + I_z)\chi_x$  |
| 3. Bending:  | $\frac{\partial Q_y}{\partial x} + q_y = 0;$<br>$\frac{\partial M_z}{\partial x} + Q_y + m_z = 0;$<br>$\frac{\partial Q_z}{\partial x} + q_z = 0;$<br>$\frac{\partial M_y}{\partial x} - Q_z + m_y = 0;$ | $\gamma_y = \frac{dw_y}{dx} - \theta_z;$<br>$\chi_z = \frac{d\theta_z}{dx};$<br>$\gamma_z = \frac{dw_z}{dx} + \theta_y;$<br>$\chi_y = \frac{d\theta_y}{dx};$ | $Q_y = GA_y\gamma_y$<br>$M_z = EI_z\chi_z$<br>$Q_z = GA_z\gamma_z$<br>$M_y = EI_y\chi_y$  |
| 4. Pinching: | $\frac{\partial M_{py}}{\partial x} - P_z + m_{py} = 0;$<br>$\frac{\partial M_{pz}}{\partial x} - P_y + m_{pz} = 0;$   | $\chi_\beta = \frac{d\beta}{dx};$<br>$\chi_\alpha = \frac{d\alpha}{dx};$   | $M_{py} = -GI_y\chi_\beta$<br>$A\sigma_{zz}^0 = -(\lambda + 2\mu)A\beta + \lambda A(\varepsilon - \alpha)$<br>$M_{pz} = -GI_z\chi_\alpha$<br>$A\sigma_{yy}^0 = -(\lambda + 2\mu)A\alpha + \lambda A(\varepsilon - \beta)$ |

## 2.2 Modèle de « Timoshenko-enrichi »

### Principe variationnel d'Hellinger-Reissner

Table 4: Equations for pinch-informed Timoshenko beams with constant pinch stresses hypothesis

| Type         | Momentum balance   | Strain-displacement  | Constitution  |
|--------------|--|--|---|
| 1. Axial:    | $\frac{\partial N}{\partial x} + q_x = 0;$   | $\varepsilon = \frac{dw_x}{dx};$   | $N = (\lambda + 2\mu)A\varepsilon - \lambda A(\alpha + \beta)$  |
| 2. Torsion:  | $\frac{\partial M_x}{\partial x} + m_x = 0;$   | $\chi_x = \frac{d\theta_x}{dx};$   | $M_x = G(I_y + I_z)\chi_x$  |
| 3. Bending:  | $\frac{\partial Q_y}{\partial x} + q_y = 0;$<br>$\frac{\partial M_z}{\partial x} + Q_y + m_z = 0;$<br>$\frac{\partial Q_z}{\partial x} + q_z = 0;$<br>$\frac{\partial M_y}{\partial x} - Q_z + m_y = 0;$ | $\gamma_y = \frac{dw_y}{dx} - \theta_z;$<br>$\chi_z = \frac{d\theta_z}{dx};$<br>$\gamma_z = \frac{dw_z}{dx} + \theta_y;$<br>$\chi_y = \frac{d\theta_y}{dx};$ | $Q_y = GA_y\gamma_y$<br>$M_z = EI_z\chi_z$<br>$Q_z = GA_z\gamma_z$<br>$M_y = EI_y\chi_y$  |
| 4. Pinching: | $\frac{\partial M_{py}}{\partial x} - P_z + m_{py} = 0;$<br>$\frac{\partial M_{pz}}{\partial x} - P_y + m_{pz} = 0;$   | $\chi_\beta = \frac{d\beta}{dx};$<br>$\chi_\alpha = \frac{d\alpha}{dx};$   | <span style="color: green; font-size: 1.5em;">Couplage dû aux effets de Poisson</span><br>$M_{py} = -GI_y\chi_\beta$<br>$A\sigma_{zz}^0 = -(\lambda + 2\mu)A\beta + \lambda A(\varepsilon - \alpha)$<br>$M_{pz} = -GI_z\chi_\alpha$<br>$A\sigma_{yy}^0 = -(\lambda + 2\mu)A\alpha + \lambda A(\varepsilon - \beta)$ |

## 2.2 Modèle de « Timoshenko-enrichi »

En réalité, il est nécessaire de faire une hypothèse supplémentaire sur les contraintes dans l'épaisseur :

$\sigma_{yy}^0$  et  $\sigma_{zz}^0$  constantes dans la section

- Sans cette hypothèse → méthode de Galerkin pure qui sous-estime l'énergie de déformation  
**Raideur du modèle trop élevée**
- Avec cette hypothèse : on récupère les bonnes raideurs du modèle de Timoshenko et on valide les benchmarks : traction pure, flexion pure, torsion pure ET pincement pur

Conclusion :

- Enrichissement cinématique seul → raideurs théoriques surestimées
- Nécessaire de considérer une formulation mixte (primale–duale) afin de retrouver les bonnes raideurs.

## 2.2 Modèle de « Timoshenko-enrichi » avec Nitsche

**Formulation variationnelle d'une poutre de Timoshenko-enrichi avec contact de Nitsche :**

$$\mathbf{V}_{PIT} := \{ (\delta\mathbf{w}, \delta\theta, \delta\mathbf{p}) \in (H^1(\Omega, \mathbb{R}))^8 \mid (\delta\mathbf{w}, \delta\theta, \delta\mathbf{p}) = (\mathbf{0}, \mathbf{0}, \mathbf{0}) \text{ on } \Gamma_D \}$$

$$\left\{ \begin{array}{l} \text{Trouver } (\mathbf{w}, \theta, \mathbf{p}) \in \mathbf{V}_{PIT} \text{ tel que pour tout } (\delta\mathbf{w}, \delta\theta, \delta\mathbf{p}) \in \mathbf{V}_{PIT} \\ \int_0^L \left( N(\mathbf{w}) \frac{d\delta w_x}{dx} + M_z(\theta) \frac{d\delta \theta_z}{dx} + M_y(\theta) \frac{d\delta \theta_y}{dx} + M_x(\theta) \frac{d\theta_x}{dx} \right. \\ \quad \left. + Q_y(\mathbf{w}, \theta) \left( \frac{dw_y}{dx} - \delta\theta_z \right) + Q_z(\mathbf{w}, \theta) \left( \frac{dw_z}{dx} + \delta\theta_y \right) \right. \\ \quad \left. - A\sigma_{yy}^0(\mathbf{w}, \mathbf{p})\delta\alpha - M_{pz}(\mathbf{p}) \frac{d\delta\alpha}{dx} - A\sigma_{zz}^0(\mathbf{w}, \mathbf{p})\delta\beta - M_{py}(\mathbf{p}) \frac{d\delta\beta}{dx} \right) dx \\ \quad \boxed{- \frac{\Theta\epsilon_w}{r} \int_{\Gamma_C} \sigma_{yy}^0(\mathbf{w}, \theta, \mathbf{p}) \sigma_{yy}^0(\delta\mathbf{w}, \delta\theta, \delta\mathbf{p}) d\Gamma_C \\ \quad + \frac{\epsilon_w}{r} \int_{\Gamma_C} [\sigma_{yy}^0(\mathbf{w}, \theta, \mathbf{p}) + r(w_y + \frac{\epsilon_t}{2}\alpha)]_- (\Theta\sigma_{yy}(\delta\mathbf{w}, \delta\theta, \delta\mathbf{p}) + r(\delta w_y + \frac{\epsilon_t}{2}\delta\alpha)) d\Gamma_C} \\ = \int_0^L [q_x \delta w_x + q_y \delta w_y + q_z \delta w_z + m_y \delta \theta_y + m_z \delta \theta_z + m_x \delta \theta_x + m_{pz} \delta \alpha + m_{py} \delta \beta] dx \end{array} \right.$$

**Contact de Nitsche**

## 2.3 Résultats numériques

Pour comparer les modèles :

→ Reconstruction sur le maillage 3D d'une **solution référence 3D** (Lagrangien augmenté proximal / P2)

1. Erreur relative sur les composantes de **déformations** décrites par le modèle de Timoshenko

$$\|\boldsymbol{\varepsilon}\|_{L^2(\Omega)}^{\text{rel}} = \frac{\sqrt{\|\boldsymbol{\varepsilon}_{xx}^h - \boldsymbol{\varepsilon}_{xx}^{\text{ref}}\|_{L^2(\Omega)}^2 + 2 \left( \|\boldsymbol{\varepsilon}_{xy}^h - \boldsymbol{\varepsilon}_{xy}^{\text{ref}}\|_{L^2(\Omega)}^2 + \|\boldsymbol{\varepsilon}_{xz}^h - \boldsymbol{\varepsilon}_{xz}^{\text{ref}}\|_{L^2(\Omega)}^2 \right)}}{\sqrt{\|\boldsymbol{\varepsilon}_{xx}^{\text{ref}}\|_{L^2(\Omega)}^2 + 2 \left( \|\boldsymbol{\varepsilon}_{xy}^{\text{ref}}\|_{L^2(\Omega)}^2 + \|\boldsymbol{\varepsilon}_{xz}^{\text{ref}}\|_{L^2(\Omega)}^2 \right)}}$$

2. Erreur relative sur la **densité linéique de contact**

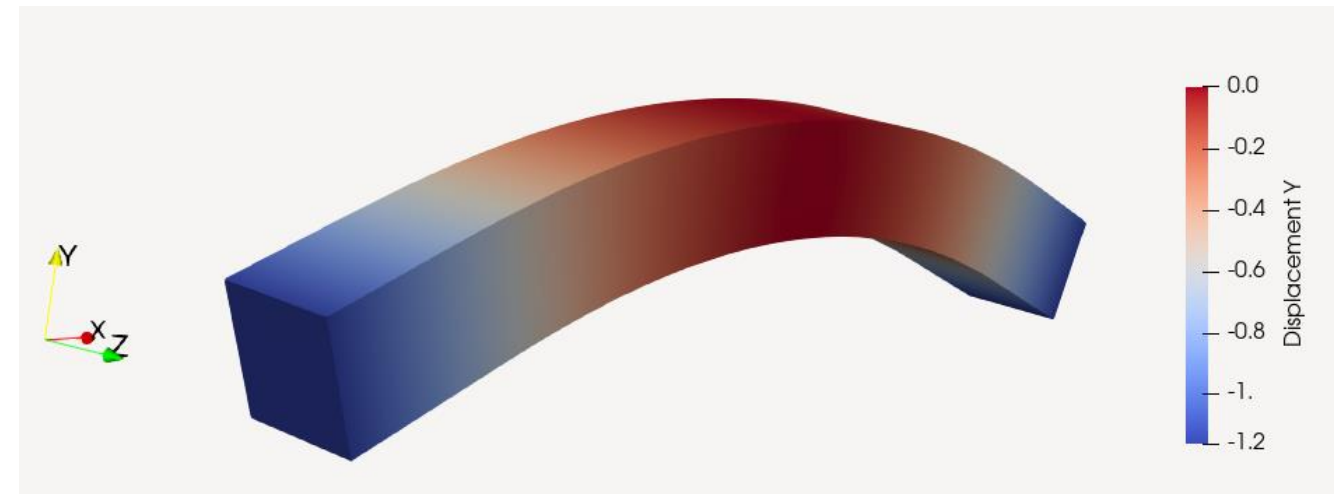
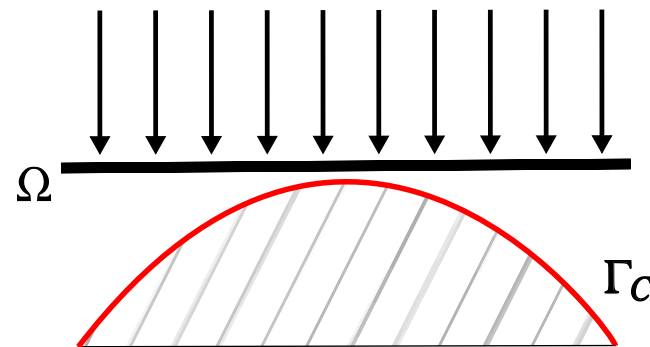
- Résultats avec la méthode de Nitsche :  $\Theta = -1$
- Différents rapports d'élancement  $\frac{L}{\varepsilon_t}$  (poutre mince / poutre épaisse)

## 2.3 Résultats numériques – Appui / obstacle parabolique

Structure en appui simple sur un obstacle parabolique

Force surfacique sur la face supérieure. Ici  $l_y = -10^2 \text{ MPa}$

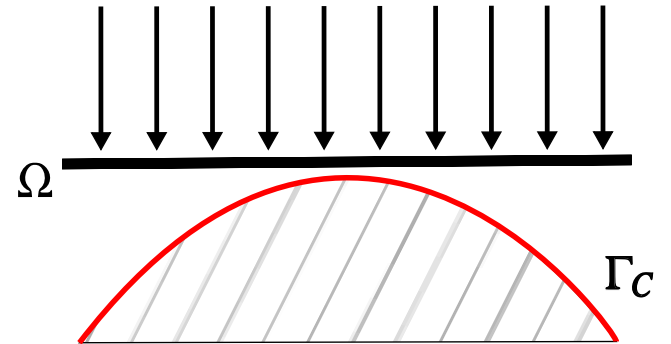
$$\frac{L}{\varepsilon_t} = 10$$



## 2.3 Résultats numériques – Appui / obstacle parabolique

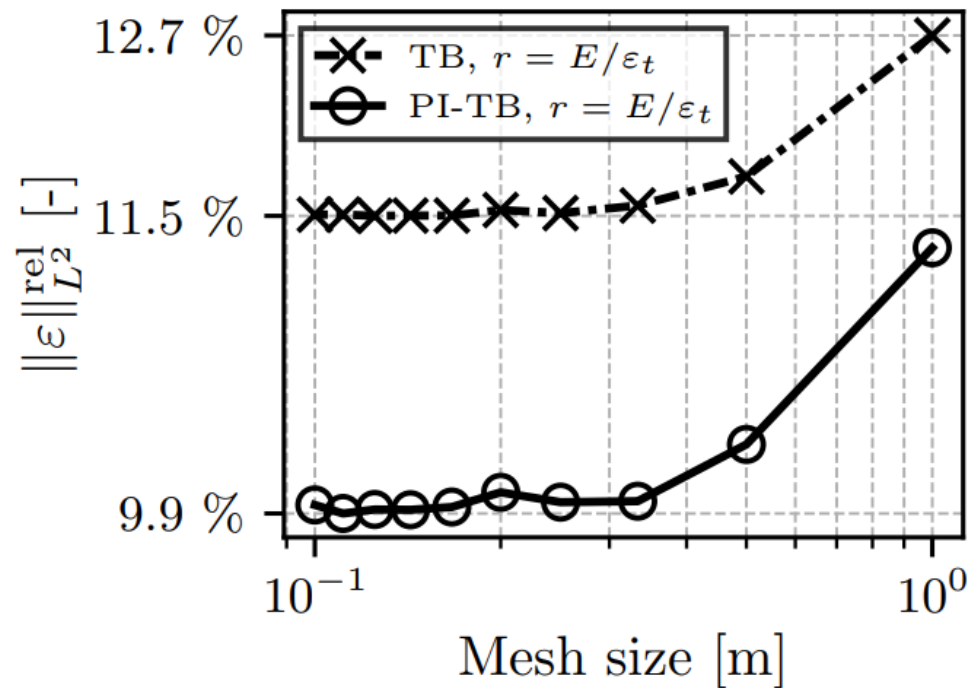
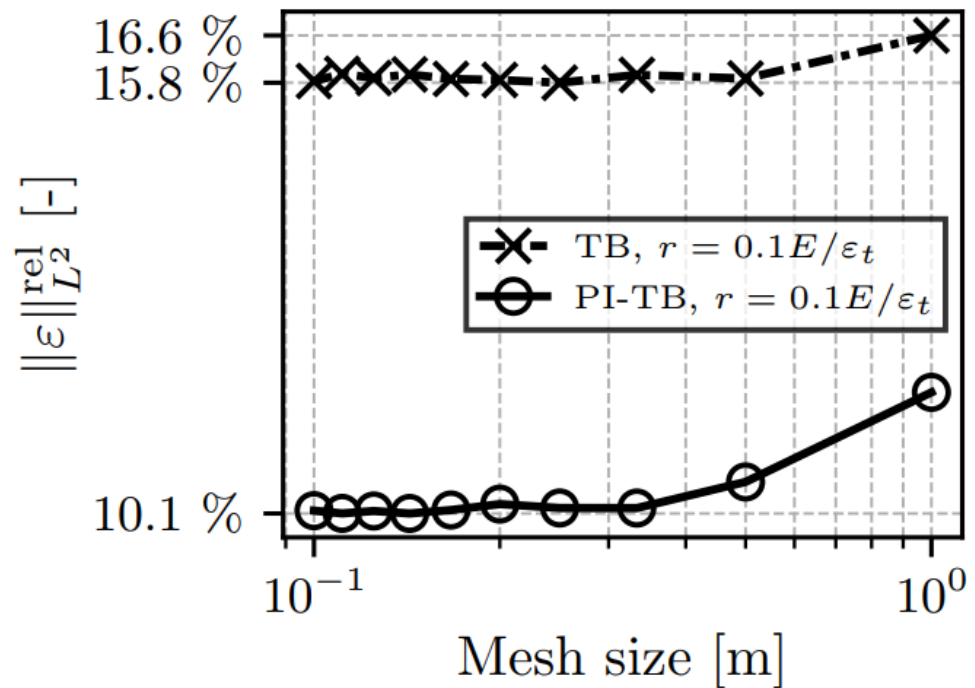
Structure en appui simple sur un obstacle parabolique

Force surfacique sur la face supérieure. Ici  $l_y = -10^2 \text{ MPa}$



Déformations :

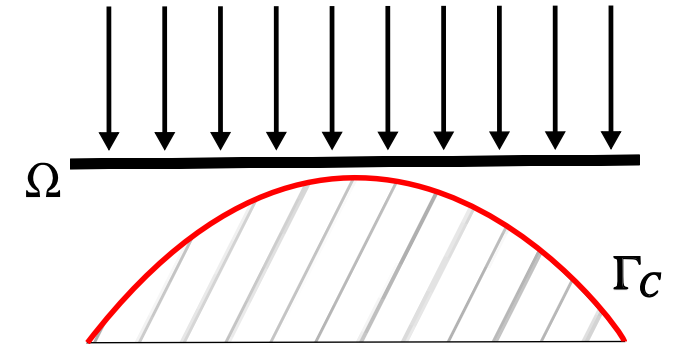
$$\frac{L}{\varepsilon_t} = 10$$



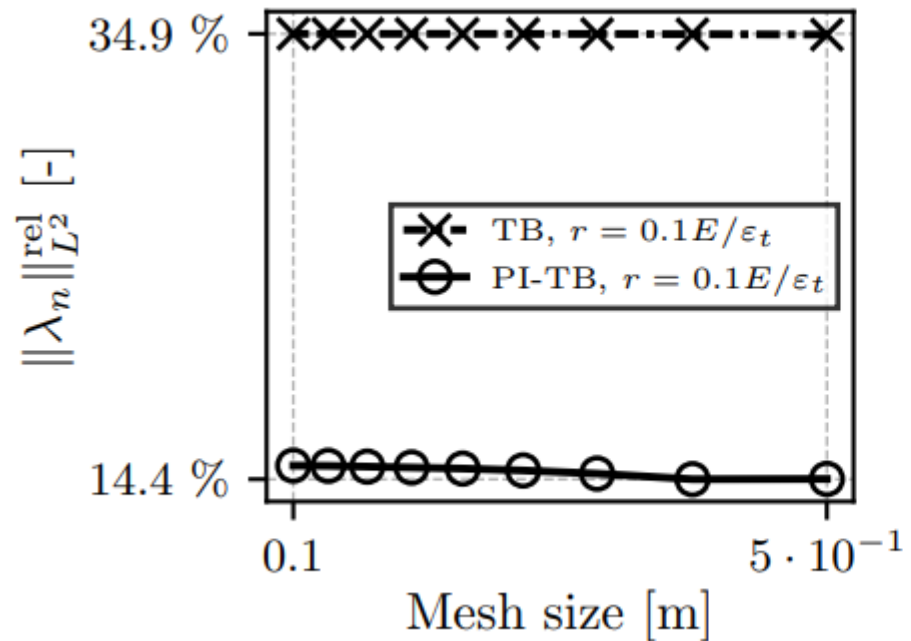
## 2.3 Résultats numériques – Appui / obstacle parabolique

Structure en appui simple sur un obstacle parabolique

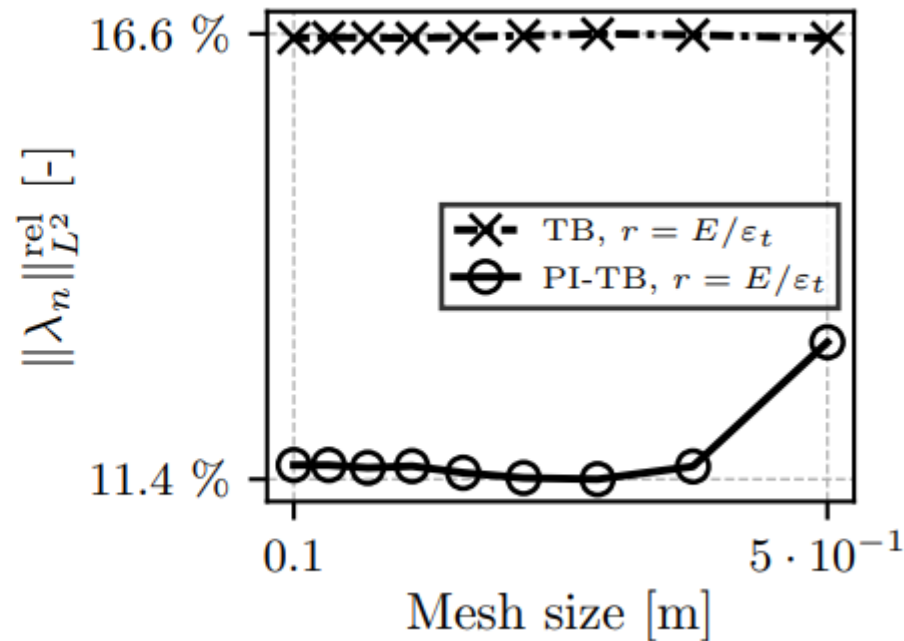
Force surfacique sur la face supérieure. Ici  $l_y = -10^2 \text{ MPa}$



Densité linéique de contact :



$$\frac{L}{\varepsilon_t} = 10$$

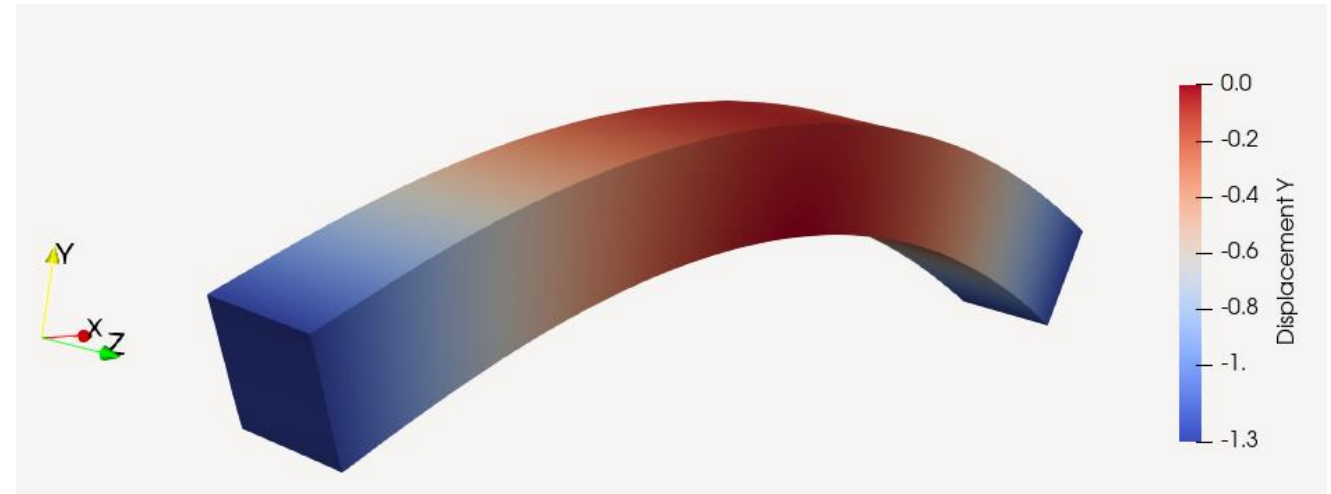
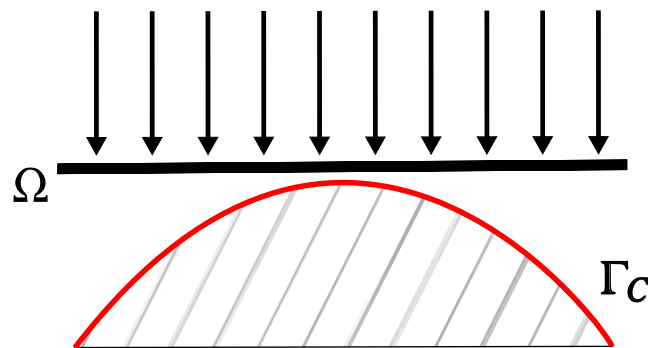


## 2.3 Résultats numériques – Appui / obstacle parabolique

Structure en appui simple sur un obstacle parabolique

Force surfacique sur la face supérieure. Ici  $l_y = -10^3 \text{ MPa}$

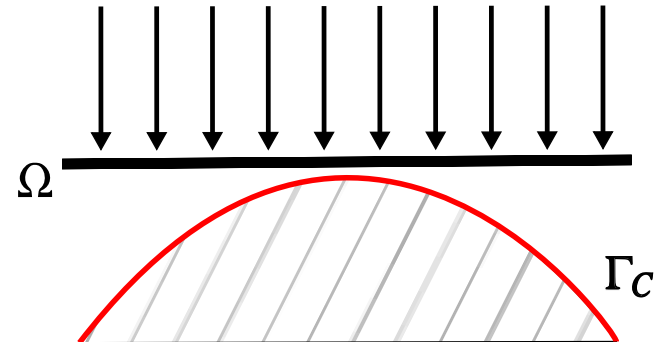
$$\frac{L}{\varepsilon_t} = 10$$



## 2.3 Résultats numériques – Appui / obstacle parabolique

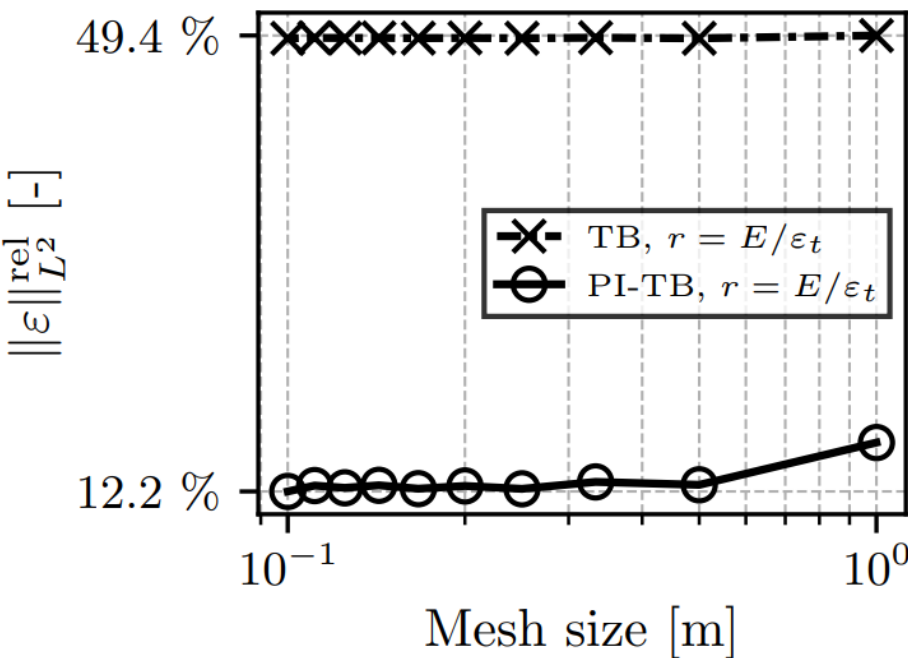
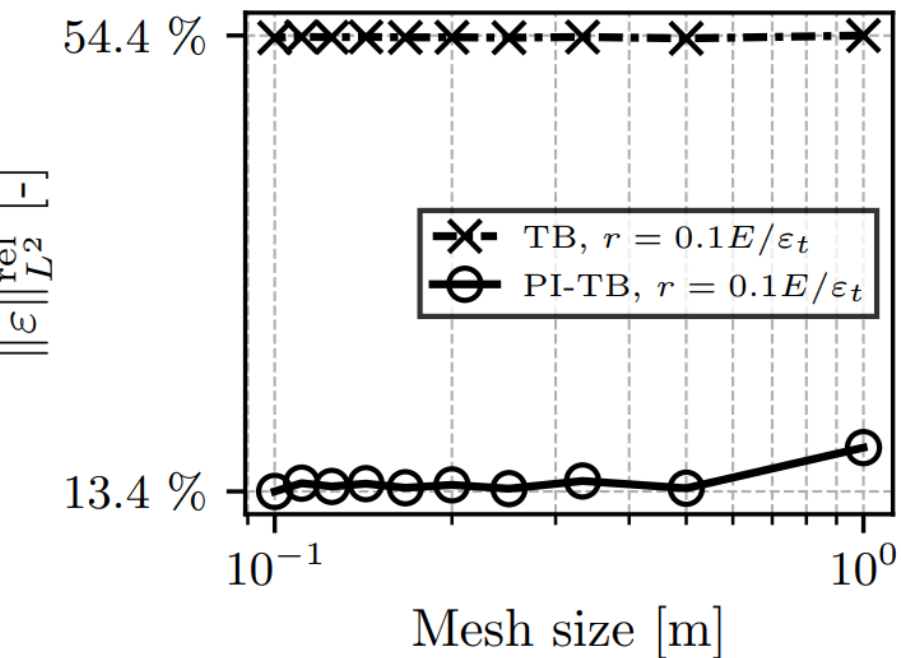
Structure en appui simple sur un obstacle parabolique

Force surfacique sur la face supérieure. Ici  $l_y = -10^3 \text{ MPa}$



Déformations :

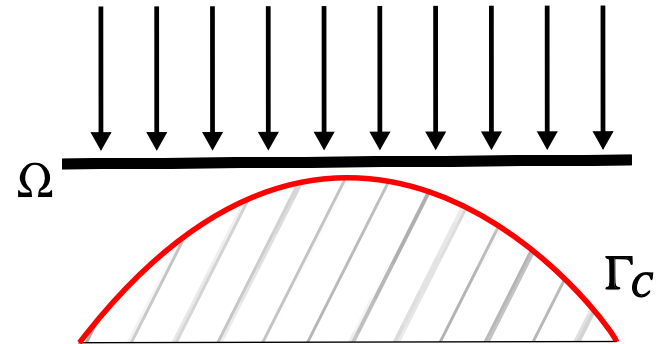
$$\frac{L}{\varepsilon_t} = 10$$



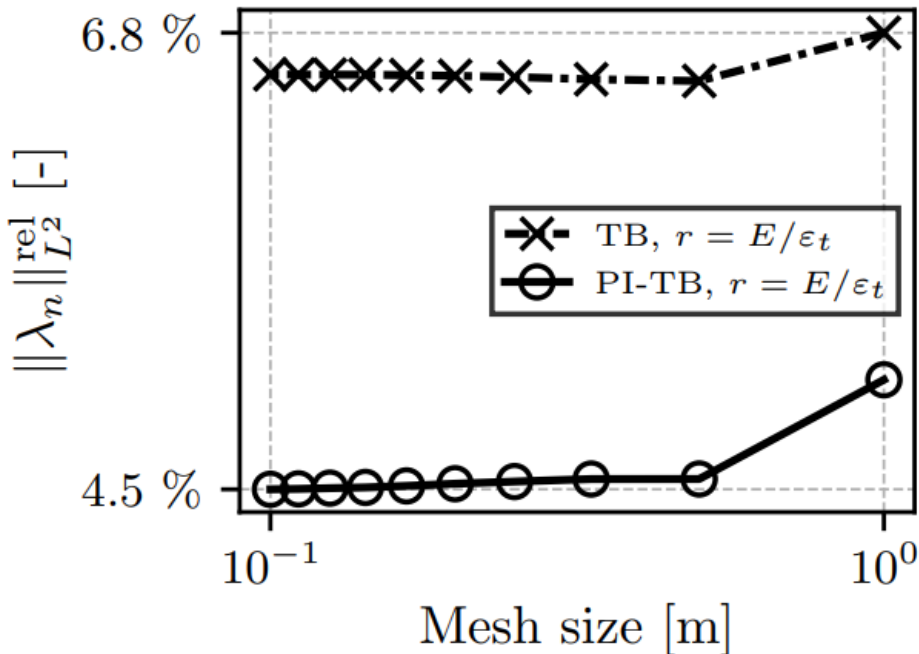
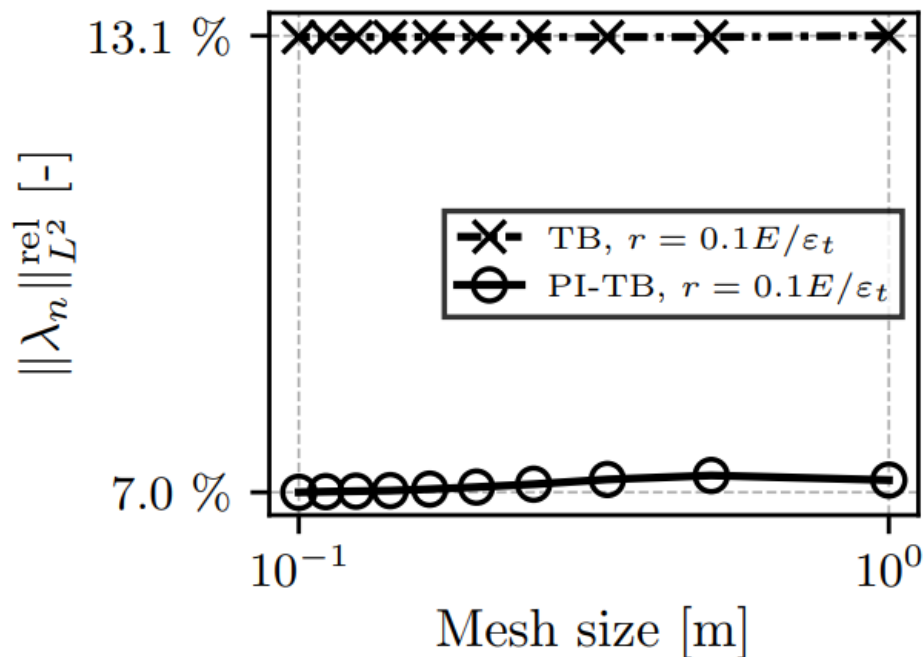
## 2.3 Résultats numériques – Appui / obstacle parabolique

Structure en appui simple sur un obstacle parabolique

Force surfacique sur la face supérieure. Ici  $l_y = -10^3 \text{ MPa}$



Densité linéique de contact :



## 2.3 Résultats numériques – Appui / obstacle parabolique

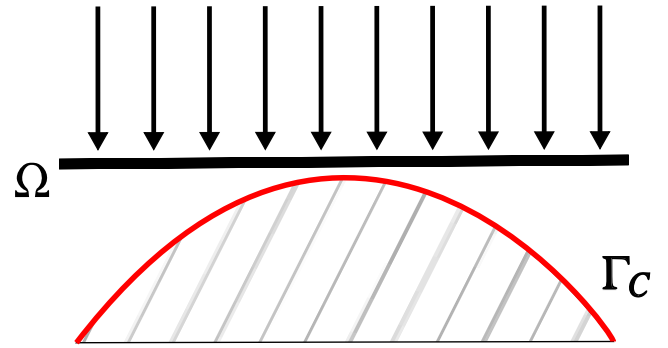
### Conclusions :

Plus le pincement est sollicité, plus l'intérêt du modèle enrichi est visible

$\Theta = -1$  : Très faible dépendance au paramètre  $r \neq$  pénalité

Cohérent avec la littérature sur la méthode de Nitsche [1,5]

Avec  $\Theta = 1$ , pour un  $r$  suffisamment grand, on trouve les mêmes résultats qu'avec la variante antisymétrique

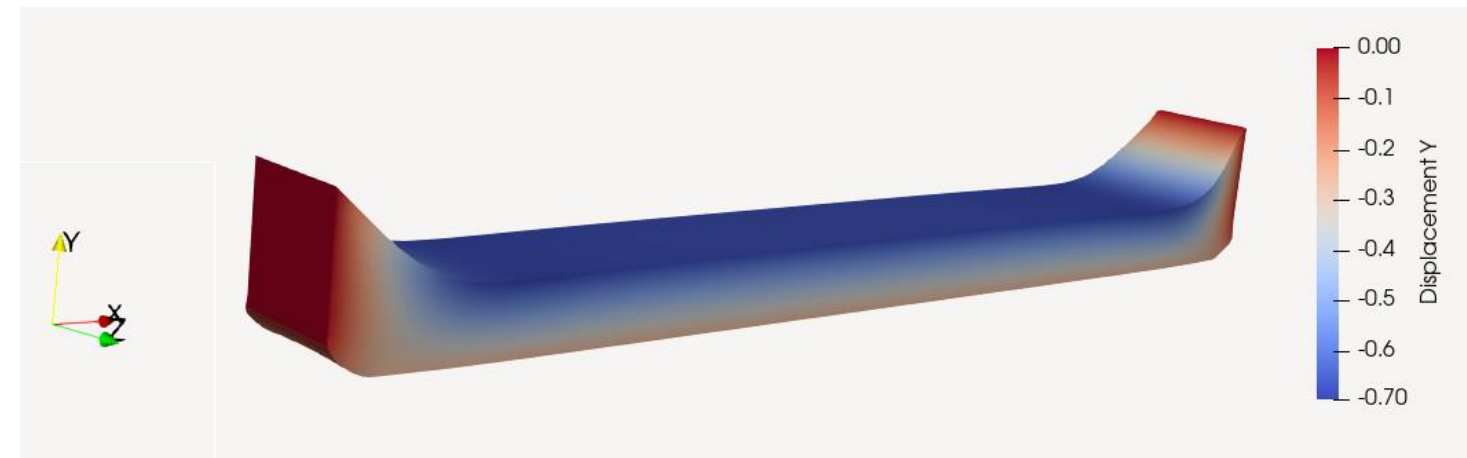
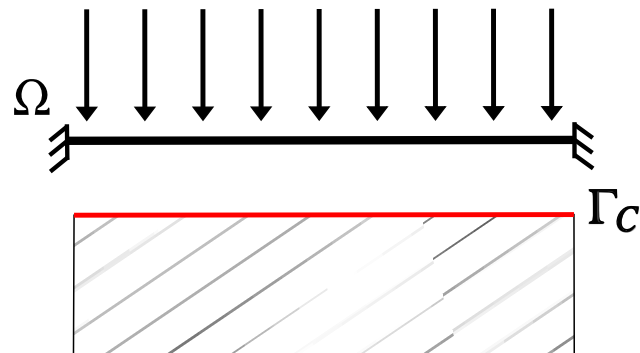


## 2.3 Résultats numériques – Poutre encastrée / obstacle plan

Structure bi-encastrée en contact avec un obstacle plan

- Force surfacique sur la face supérieure très importante
- Poutre épaisse

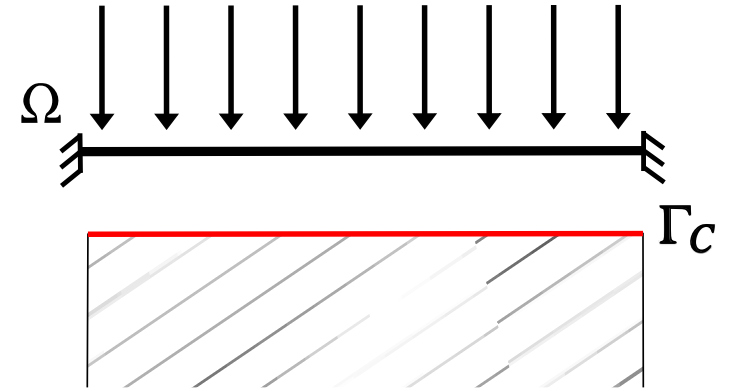
$$\frac{L}{\varepsilon_t} = 10$$



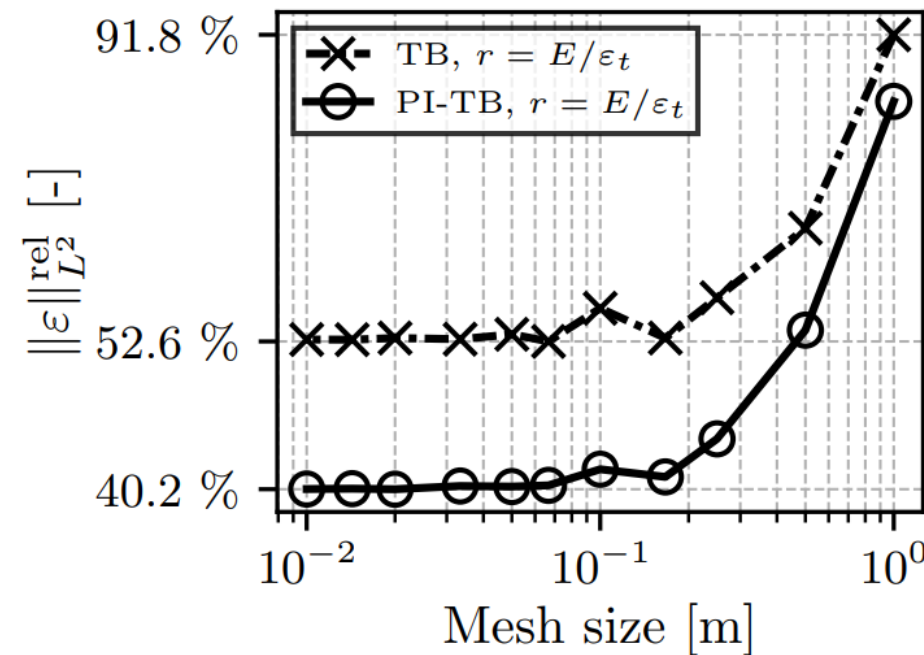
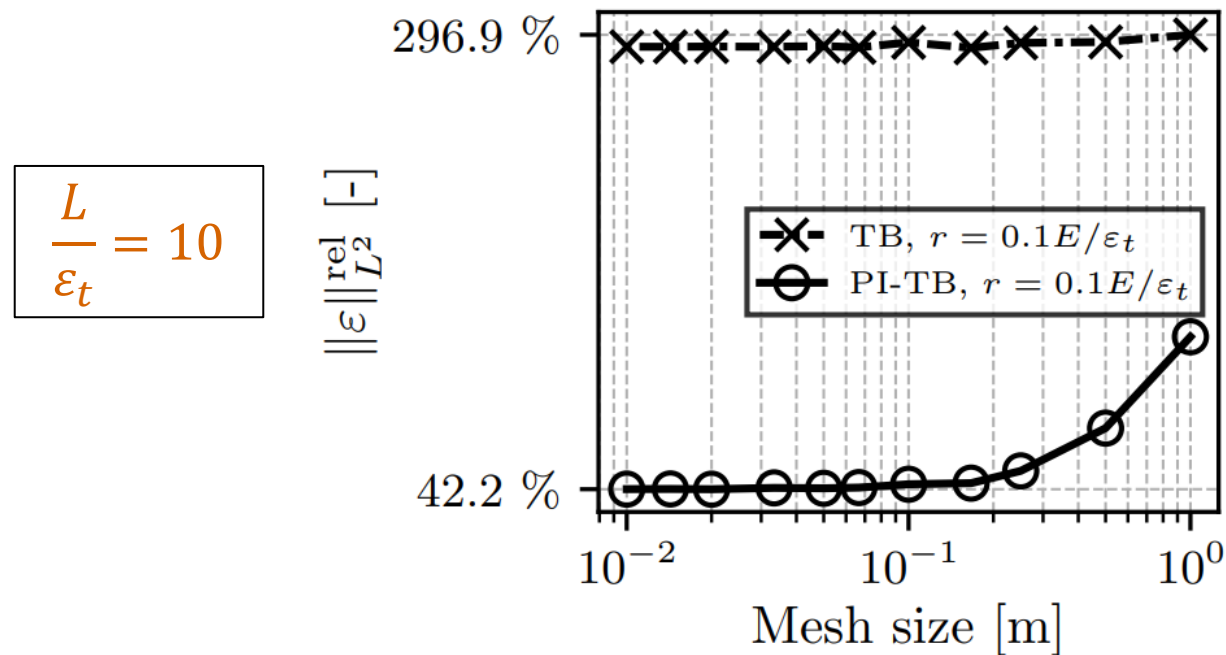
## 2.3 Résultats numériques – Poutre encastrée / obstacle plan

Structure bi-encastrée en contact avec un obstacle plan

- Force surfacique sur la face supérieure très importante
- Poutre épaisse



Déformations :

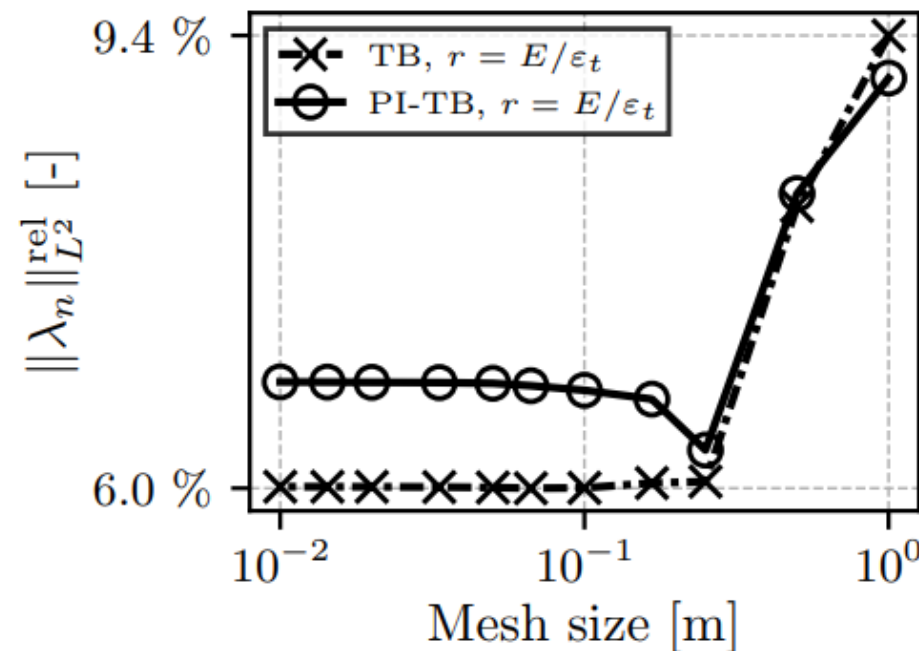
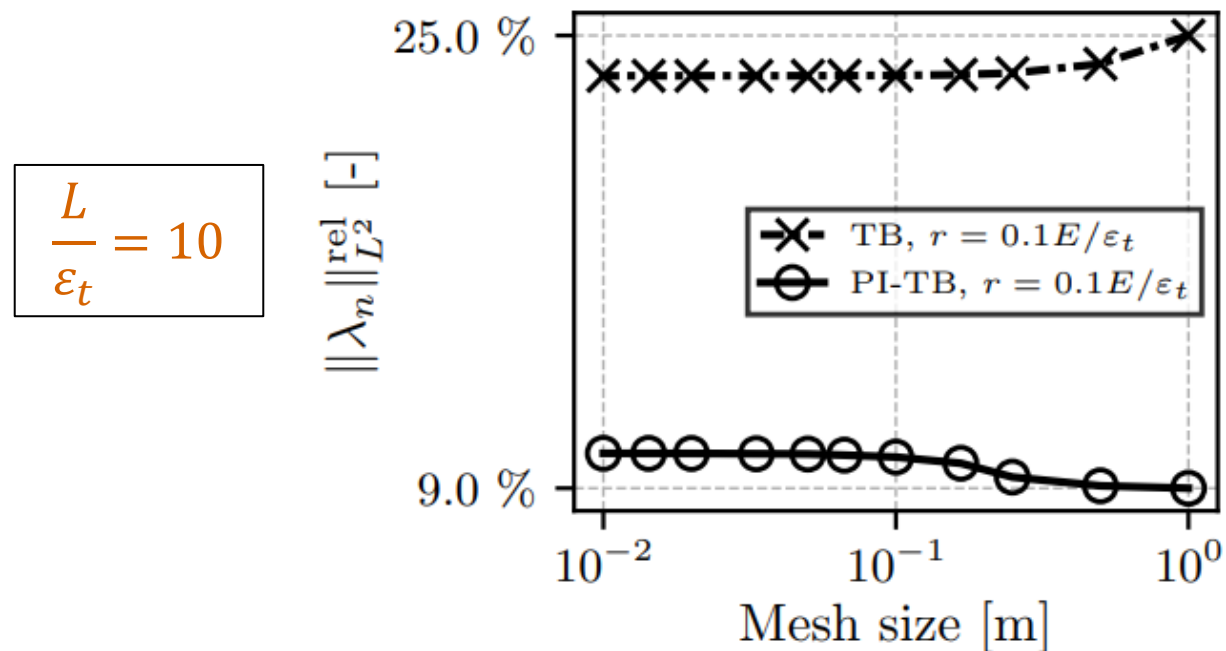
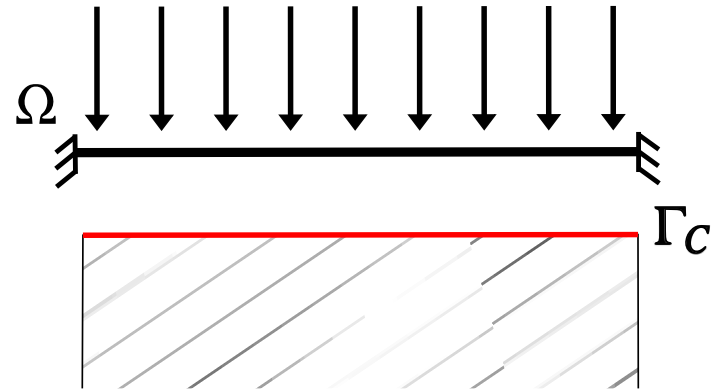


## 2.3 Résultats numériques – Poutre encastrée / obstacle plan

Structure bi-encastrée en contact avec un obstacle plan

- Force surfacique sur la face supérieure très importante
- Poutre épaisse

Densité linéique de contact :

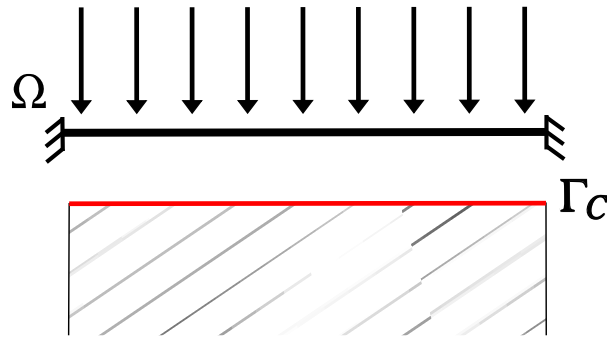


## 2.3 Résultats numériques – Poutre encastrée / obstacle plan

Structure bi-encastrée en contact avec un obstacle plan

- Force surfacique sur la face supérieure modérée
- Poutre mince

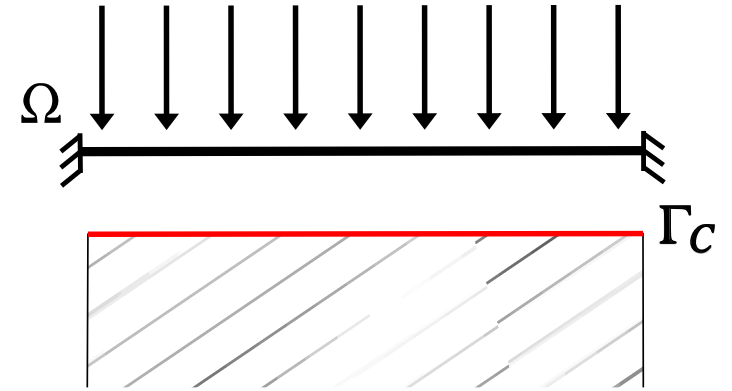
$$\frac{L}{\varepsilon_t} = 100$$



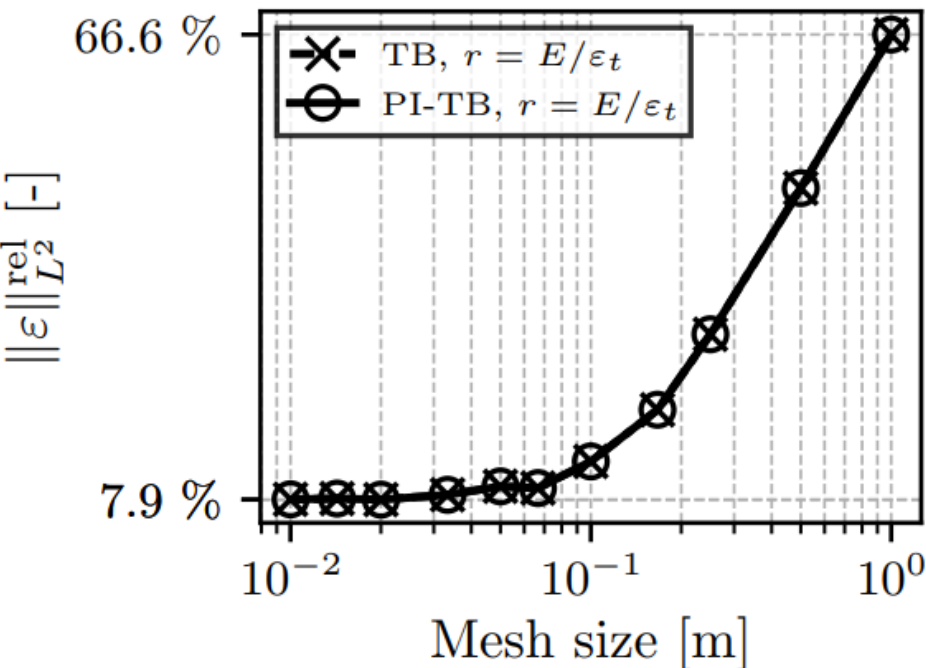
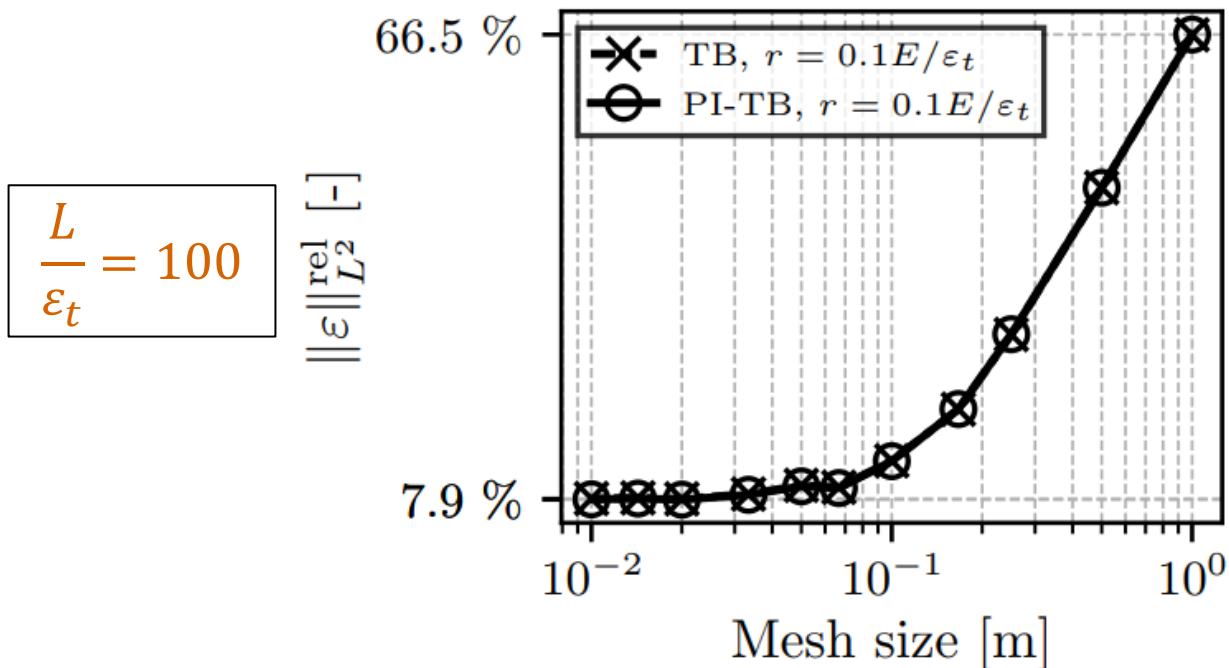
## 2.3 Résultats numériques – Poutre encastrée / obstacle plan

Structure bi-encastrée en contact avec un obstacle plan

- Force surfacique sur la face supérieure modérée
- Poutre mince



Déformations :

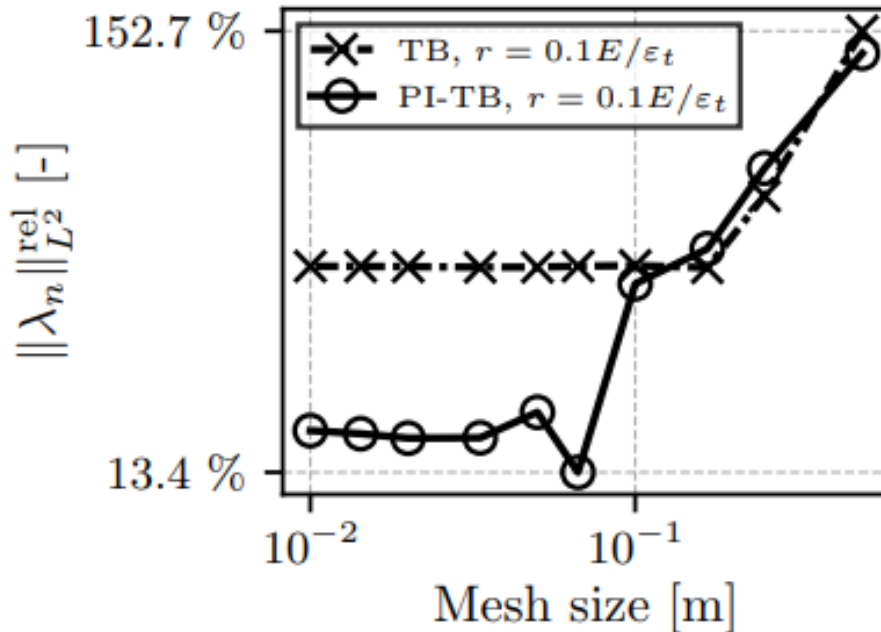


## 2.3 Résultats numériques – Poutre encastrée / obstacle plan

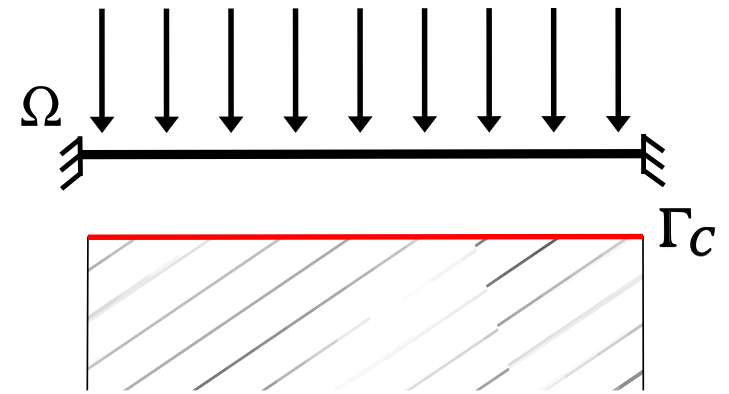
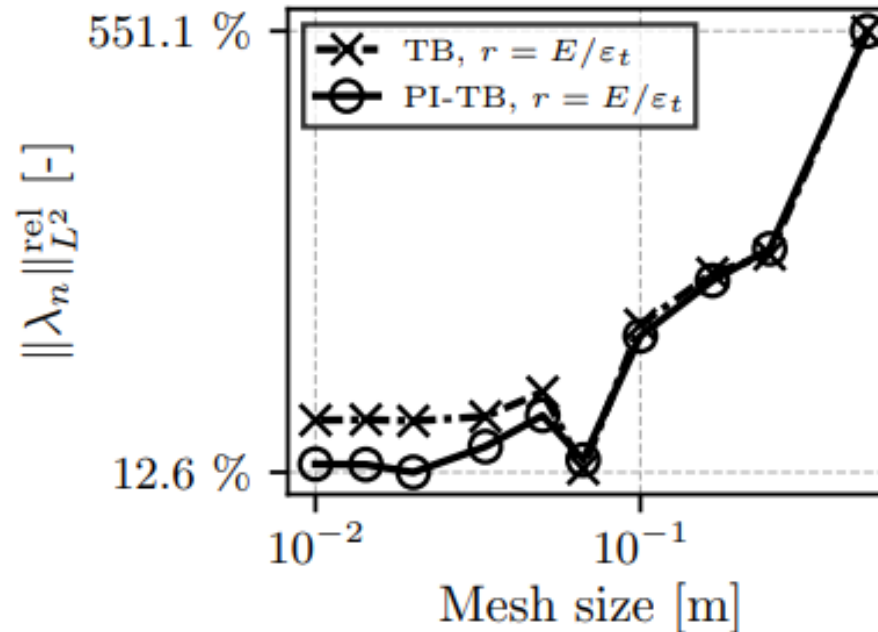
Structure bi-encastrée en contact avec un obstacle plan

- Force surfacique sur la face supérieure modérée
- Poutre mince

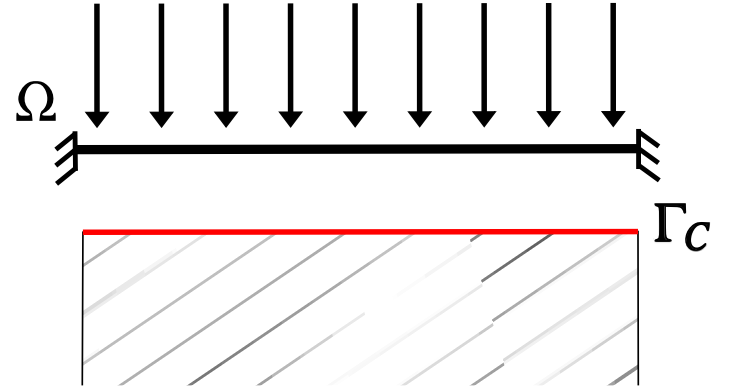
Densité linéique de contact :



$$\frac{L}{\varepsilon_t} = 100$$



## 2.3 Résultats numériques – Poutre encastrée / obstacle plan



### Conclusions :

Si le rapport d'élancement augmente → le modèle de Timoshenko tend vers le modèle de Timoshenko enrichi (cohérent et attendu)

Toujours faible dépendance des résultats au paramètre  $r$  pour  $\Theta = -1$

## 2.3 Résultats numériques – Conclusions

- Rapports d'élancement faibles, pincement sollicité  
→ Intérêt du modèle enrichi
- Poutres minces, peu sollicitées en pincement, deux modèles très proches si :
  - **r est bien choisi** : la pénalité donne de bons résultats en déformations
  - Même si les déformations sont très proches, le modèle enrichi est **plus précis** sur la densité linéique de contact
- $\Theta = -1$  : les résultats dépendent très peu de  $r$  contrairement à la pénalité

### Objectifs :

- développer des modèles qui tiennent compte de l'élasticité de la structure « intrinsèquement »
- Qui dépendent peu du choix de paramètres numériques
- Ou qui, le cas échéant, soient plus précis sur les grandeurs d'intérêt

## 2.3 Résultats théoriques

**Objectifs :** retrouver les avantages théoriques / numériques de la méthode de Nitsche

- Consistance
- Aspect bien-posé
- Convergences optimales

**Theorem 3.3** Suppose that one of the following assumptions holds:

1.  $\Theta \neq -1$  and  $r_0 > 0$  is sufficiently large,
2.  $\Theta = -1$  and  $r_0 > 0$ .

Then problem (2.6) admits one unique solution  $(\mathbf{w}^h, \boldsymbol{\theta}^h, \mathbf{p}^h)$  in  $\mathbf{V}_T^h$ .

**Theorem 3.5** Suppose that the solution  $(\mathbf{w}, \boldsymbol{\theta}, \mathbf{p})$  of problem (1.11) belongs to  $(H^{m+1}(\Omega))^8$ , with  $m \leq k$  ( $k = 1, 2$  is the degree of the finite element method given in (2.1)).

$$\|\mathbf{u} - \mathbf{u}^h\|_{\mathbf{V}_T} + \frac{1}{\sqrt{r}} \| [P_{1,r}^n(\mathbf{u}^h)]_- + \sigma_n(\mathbf{u}) \|_{L^2(\Gamma_C)} \leq Ch^m \|\mathbf{u}\|_{m+1,\Omega} \quad (3.37)$$

Travail en cours...

## 2.3 Conclusion et perspectives

### Conclusions :

- Notre modèle enrichi permet de retrouver la richesse du contact de Nitsche
- Modèle enrichi particulièrement pertinent lorsque le pincement est sollicité
- Faible dépendance au paramètre  $r$  en accord avec la littérature sur Nitsche

### Perspectives :

Chez Framatome :

les poutres sont des **tubes** !

→ Nécessaire de prendre en compte les phénomènes d'ovalisation

Réaliser le même travail sur des modèles de coques enrichis avec pincement ?

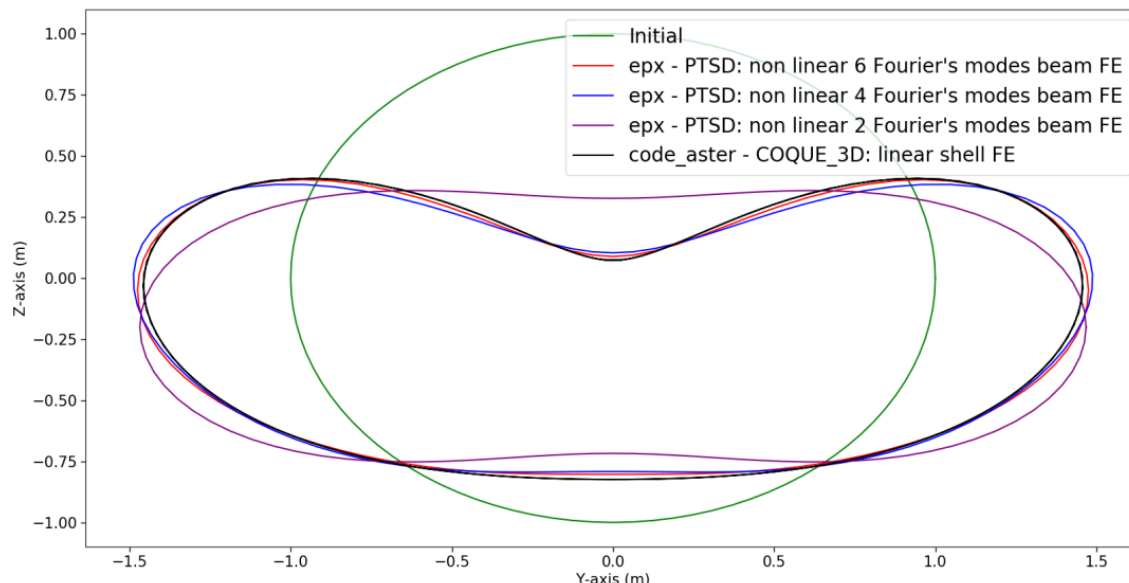


Figure 2.16 – Comparaison de la solution selon le nombre de modes de Fourier en  $X = 0.5L$

Thèse Youri Pascal-Abdellaoui  
« Modèles mécaniques de poutre enrichis pour la simulation de tubes minces sous pression »

framatomē

Merci

# Bibliographie

- [1] Chouly F, Hild P. "A Nitsche-Based Method for Unilateral Contact Problems: Numerical Analysis". *SIAM J Numer Anal.* janv 2013;51(2):1295-307.  
<https://doi.org/10.1137/12088344X>
- [2] Chouly, Franz, et Hild, Patrick. « On Convergence of the Penalty Method for Unilateral Contact Problems ». *Applied Numerical Mathematics* 65 (mars 2013): 27-40.  
<https://doi.org/10.1016/j.apnum.2012.10.003>.
- [3] Rolf Stenberg, "The 11th Contact Mechanics International Symposium Lyon, May 22-24, 2024", The 11th Contact Mechanics International Symposium Lyon, May 22-24, 2024
- [4] Fabre, Mathieu, Pozzolini, Cédric et Renard, Yves. « Nitsche-based models for the unilateral contact of plates ». *ESAIM: Mathematical Modelling and Numerical Analysis* 55 (2021): S941-67. <https://doi.org/10.1051/m2an/2020063>.
- [5] Chouly, Franz, Fabre, Mathieu, Hild, Patrick, Mlika, Rabii, Pousin, Jérôme, et Renard, Yves. « An overview of recent results on Nitsche's method for contact problems». in: *Geometrically unfitted finite element methods and applications, volume 121 of Lect. Notes Comput. Sci. Eng., Springer, Cham, 2017, pp. 93–141.* [http://dx.doi.org/10.1007/978-3-319-71431-8\\_4](http://dx.doi.org/10.1007/978-3-319-71431-8_4)

Toute reproduction, modification, transmission à tout tiers ou publication totale ou partielle du document et/ou de son contenu est interdite sans l'accord préalable et écrit de Framatome.

Ce document et toute information qu'il contient ne doivent en aucun cas être utilisés à d'autres fins que celles pour lesquelles ils ont été communiqués.

Tout acte de contrefaçon ou tout manquement aux obligations ci-dessus est passible de sanctions disciplinaires et de poursuites judiciaires.